

● 特別寄稿 ●



Filter theory and design

金 東 龍

全北大 工大 電氣工學科
助 教 授

本協會 奨學會의 奖學金으로 카나다 미니토바州
立大學에 2年余 留學했던 全北大 工大 電氣工學
科 金東龍助教授가 지난 81年 5月12日 世界 40個
國 500余名의 大學教授들이 參加한 가운데 現地인
시카고에서 開催된 I. E. E. E. 國際學術發表會에서
發表한 論文「濾波回路 理論과 設計」를 알기 쉽게
要約한 것이다.
〈註 編輯者〉

I. 序 言

오늘날 濾波回路 理論은 真正한 意味의 回路理論으로 말해도 無妨할 程度로 飛躍的인 發展을 거듭해 왔다. 濾波回路란 入力信號를 特別히 정해진 出力信號로 變化시키는 裝置를 말한다.

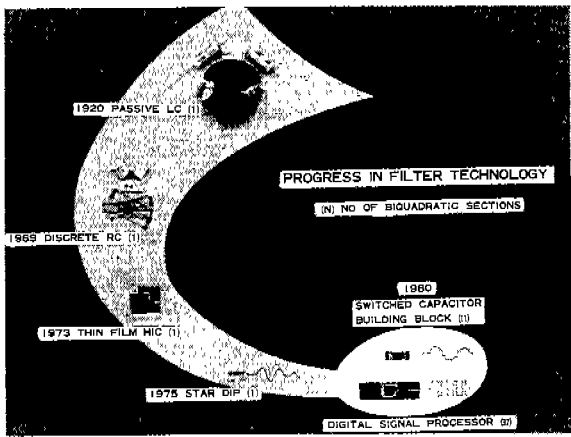
濾波回路를 조금더 具体的으로 說明하자면, 어떤 特定한 周波數는 通過시키고 그 이외의 周波數는 遮斷 혹은 減少시켜주는 周波數 選擇裝置라고 말할 수 있다.

電氣(電子) 濾波回路 設計는 現代技術에 각 方面으로 깊숙히 浸透되어 電信, 電話, TV, Radio, Radar, Sonar, 人工衛星 등 最近의 通信工學分野 그리고 Signal - Processing 分野에 까지도 그 役割이 必隨的인 重要한 部分으로 登場되어 있다.

電氣(電子) 濾波回路에 使用되는 Elements는 Resistors, Capacitors, Inductors 그리고 電子部品인 Operational Amplifiers 등이 사용되며 特定한 濾波回路에는 Mechanical, Crystal 과 Switching Devices 까지 使用해서 設計된다.

그 使用部品을 年度別로 說明하자면 1950년도 이전에는 Passive Elements인 Resistors, Inductors, Capacitors 를 이용한 R, L, C回路로 그 設計를 이루어 왔다.

1960年代를 들어 서면서 I.C의 登場과 함께 Resistors, Capacitors, Operational Amplifiers를 이용한 R, C-active 設計를 Analog Filters라고 말한다. 1960년도 후반부터 1970년도 중반까지는 Digital Signal Precessing의 登場과 함께 Digital Filters의 設計가 그重要的 몫을 차지하였다. 그리고 1970년도 후반과 1980년도를 접어 들면서 Resistors의 素子도 그 容量이 너무 多樣해져서 그 使用의 VLSI(Very Large Scale Integration) Technology에 不便을 招來해서 이것을 使用치 않는 Switched-Capacitor와 Operational Amplifiers를 이용한 MOS Switched Capacitor Filter



가 登場하게 되었다.

筆者は 濾波回路의 簡單한 理論과 設計 예를 說明함으로써 이것을 必要로 하는 電氣技師분에 다소나마 도움이 되었으면 한다.

II. 濾波回路의 分類 (Types of Filters)

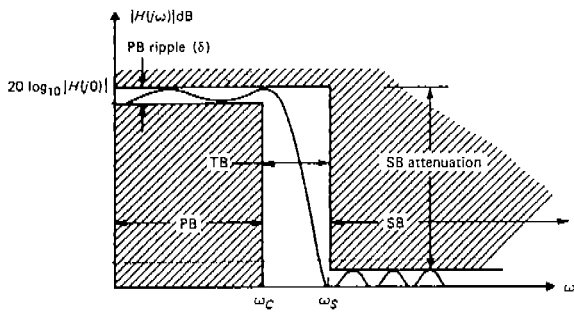
(A) 抵帶域 濾波器 (Low-pass Filter)

抵帶域 濾波回路의 函數는 낮은 周波數는 通過시켜나 높은 周波數는 減衰시킨다.

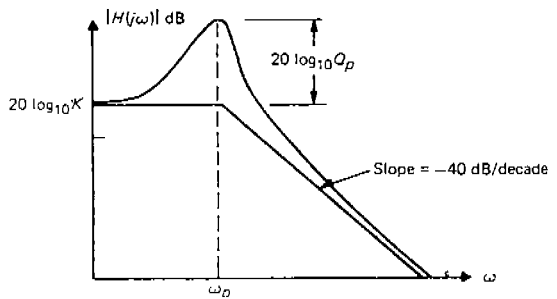
遮斷周波數 ω_c , 靜止周波數 ω_s , 通過帶域起伏 PB, 轉移帶域 TB

2 차函數의 傳達函數는 다음과 같다.

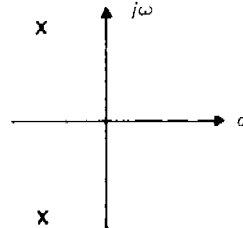
$$H(s) = \frac{K\omega_p^2}{S^2 + \left(\frac{\omega_p}{Q_p}\right) S + \omega_p^2}$$



(a) 低帶域 濾波回路의 特성



(b) 2 차函數의 低帶域 濾波回路의 利得應答特性

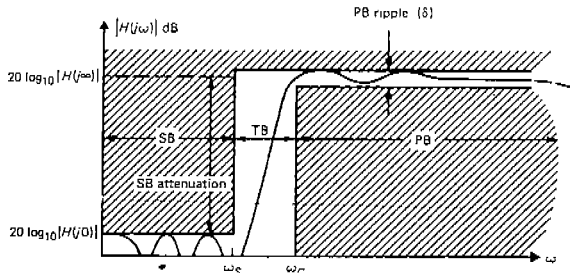


(c) S-plane에서 Pole-zero 표시

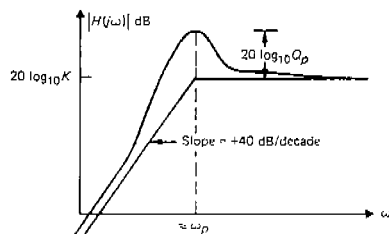
(B) 高帶域 濾波器 (High-pass Filter)

高帶域 濾波回路의 函數는 높은 周波數는 通過시켜주나 낮은 周波數는 減衰시켜주는 濾波回路를 말한다.

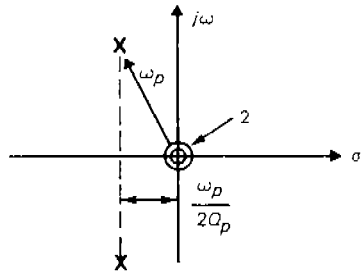
高帶域 利得特性을 나타내는 二次函數는 다음과 같다. $H(s) = \frac{KS^2}{S^2 + \left(\frac{\omega_p}{Q_p}\right) S + \omega_p^2}$



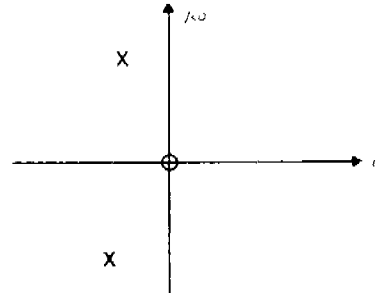
(a) 高帶域 濾波器의 特性



(b) 第 2 차 高帶域 濾波器의 利得應答特性



(c) 제 2 차 高帶域 濾波器의 S-plane
Pole-zero 표시

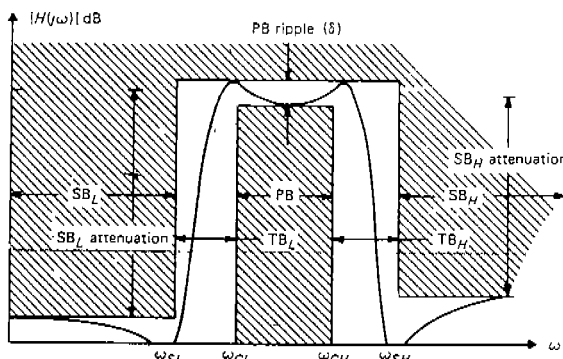


(c) 2 차 帶域濾波器의 S平面에서의
Pole-zero 表示

(C) 帶域通過 濾波器 (Band-pass Filter)

帶域濾波回路의 函數는 限定된 帶域의 周波數는 通過시키는 反面에 低域 혹은 高域의 周波數는 減衰 또는 遮斷시키는 濾波回路를 말한다. 그리고 SB_L 은 低域遮斷帶域, SB_H 은 高域遮斷帶域을 말한다. TB_L 은 低域轉移帶域, TB_H 은 高域轉移帶域을 表示하고 있다. 帶域通過利得의 特性을 나타내는 2차函數는 다음과 같다.

$$H(s) = \frac{K(\omega_p / Q_p) S}{S^2 + (\omega_p / Q_p) S + \omega_p^2}$$



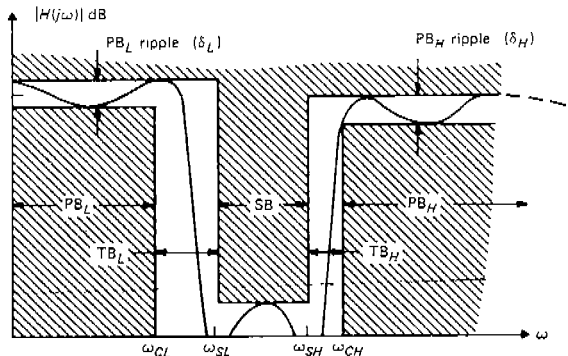
(a) 帶域濾波器의 特성

(D) 帶域 消去濾波器 (Band-reject Filter)

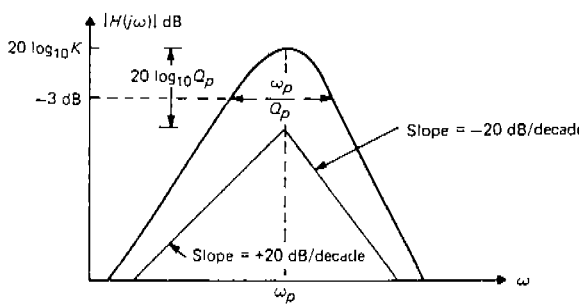
帶域除去 濾波回路 函數는 限定된 帶域範圍를 減衰시키고 낮은 帶域과 높은 帶域을 通過시키는 濾波回路를 말한다. PB_L 은 낮은 周波數 通過帶域을 말하고 PB_H 는 높은 周波數 通過帶域을 表示한다.

帶域 소거 이득特성을 나타내는 2차函數는 다음과 같이 나타낼 수 있다.

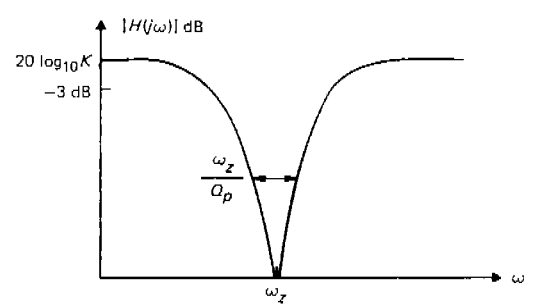
$$H(s) = \frac{K(S^2 + \omega_z^2)}{S^2 + \left(\frac{\omega_p}{Q_p}\right) S + \omega_p^2} = \frac{K(S^2 + \omega_z^2)}{S^2 + \left(\frac{\omega_z}{Q_p}\right) S + \omega_z^2}$$



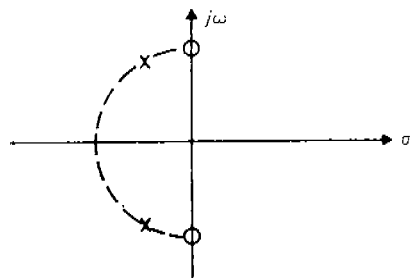
(a) 帶域消去濾波器의 特性



(b) 二次函數 帶域濾波器의 利得應答特性



(b) 帶域消去濾波器의 利得應答特性

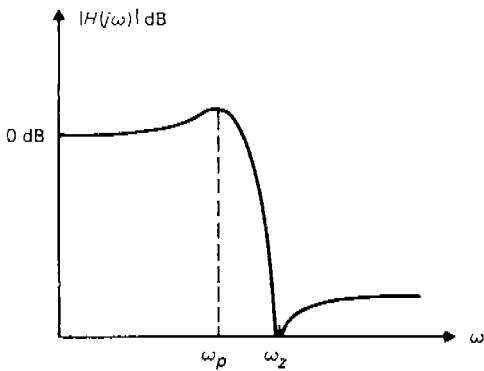


(c) 2 차 帶域消去 濾波器의 S 평면에서의 Pole-zero 表示

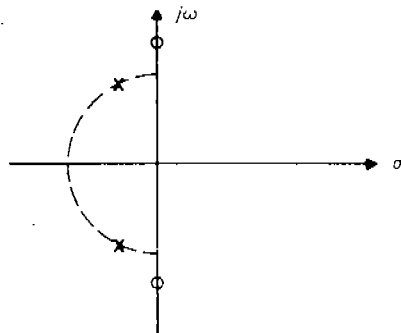
(E) Notch 回路의 特性과 Pole-zero 表示

Elliptic Filter 와 Band-reject Filter의 設計 時에 가장 많이 쓰여지는 函數는 2 차 函數의 Low-pass Notch 函數와 High-pass Notch 函數를 들 수 있다.

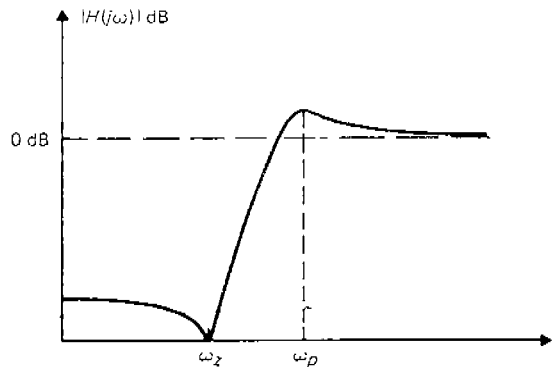
그 特性과 Pole-zero 表示를 다음과 같이 나타낼 수 있다.



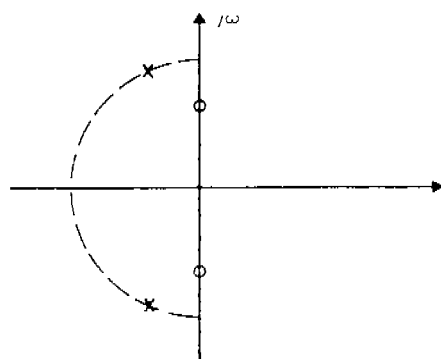
(a) 二次函數의 低周波 Notch 濾波回路의 利得應答特性



(b) S 평면에서의 Pole-zero 表示



(a) 二次函數의 高周波 Notch 濾波回路의 利得應答特性



(b) S 평면에서의 Pole-zero 表示

III. 濾波器 設計를 위한 接近方法 (Approximation Methods for Filter Design)

(A) Butterworth 低周波 濾波回路의 接近法 (Butterworth Low-pass Filters)

먼저 理想的인 低周波 傳送函數에 接近하는 實現可能한 크기함수를 생각하자.

$$|H(j\omega)|^2 = \frac{H^2(0)}{1 + (\omega/\omega_c)^{2n}} \quad (1)$$

$n = 1, 2, 3, \dots$

$|H(j\omega)|$ 는 크기함수이다.

Pole의 位置를 決定하기 위해 (1) 式을 다음과 같이 表示할 수 있다.

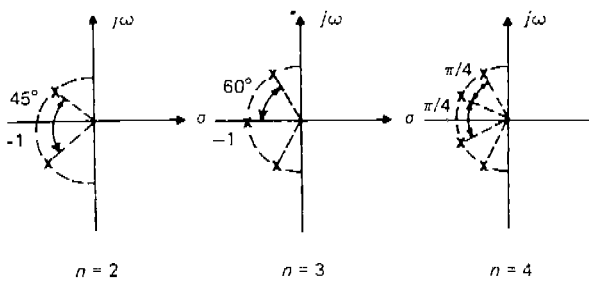
$$|H(s)|^2 = H(s) H^*(s) = \frac{H^2(0)}{1 + (-1)^n s^{2n}} \quad (2)$$

$$s^{2n} = (-1)^{n+1}$$

$$s = \exp \left[j \left(\frac{2k-1+n}{2n} \right) \pi \right]$$

$$k = 1, 2, \dots, n$$

Fig 1. Butterworth 2, 3, 4차 函數의 根을 表示 한다.



그리고 그 전달함수의 n 차 all-pole 低周波應答特性函數는 다음과 같다.

$$H(s) = \frac{H(0)}{s^n + b_{n-1}s^{n-1} + b_{n-2}s^{n-2} + \dots + b_1s + 1} \quad (3)$$

Butterworth 多項式 $H(s)$ 의 分母項을 決定 할 때는 n 이 偶數일 경우와 奇數일 때는 각각 다음과 같다.

$$\begin{aligned} n \text{ even: } & \prod_{k=1}^{n/2} [s^2 + (2 \cos \theta_k) s + 1] \\ & \theta_k = \frac{(2k-1)\pi}{2n} \end{aligned} \quad (4)$$

$$\begin{aligned} n \text{ odd: } & (s+1) \prod_{l=1}^{(n-1)/2} [s^2 + (2 \cos \theta_l) s + 1] \\ & \theta_1 = \frac{l\pi}{n} \end{aligned}$$

(3)式의 分母項의 係數를 Table로 表示하면 다음과 같다.

TABLE 1-1 Butterworth Polynomials

n	Polynomial
1	$s + 1$
2	$s^2 + \sqrt{2}s + 1$
3	$s^3 + 2s^2 + 2s + 1 = (s+1)(s^2+s+1)$
4	$s^4 + 2.613s^3 + 3.414s^2 + 2.613s + 1$ $= (s^2 + 0.765s + 1)(s^2 + 1.848s + 1)$

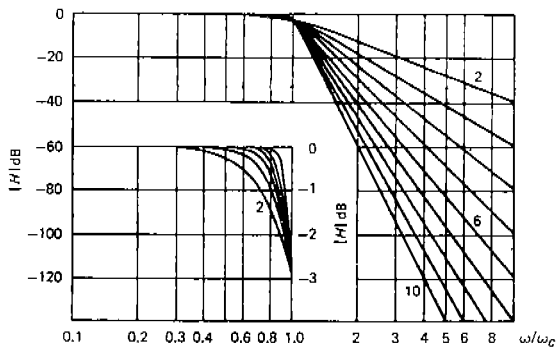


Fig 2. $n \leq 10$ 인 境遇의 Butterworth濾波器의 利得應答 特性 Graph

그리고 Butterworth濾波器의 利得應答 特性은 Fig 2와 같이 보여진다.

(B) Chebyshev 低周波 濾波回路의 接近法 (Chebyshev Low-pass Filters)

Chebyshev 低周波 크기함수는 다음과 같다.

$$|H(j\omega)|^2 = \frac{H_0^2}{1 + \varepsilon^2 C_n^2(\omega/\omega_c)} \quad (1)$$

$$H_0 = H(0)$$

通過帶域 Ripple δ 는 $\varepsilon^2 = 10^{0.1\delta} - 1$ 이고 Decibels (dB)로 表示된다. Parameter ε 은 常數이고 그 크기는 恒常 1보다 작다.

Chebyshev 多項式 $C_n(\omega/\omega_c)$ 은 다음과 같아 定義된다.

$$C_n\left(\frac{\omega}{\omega_c}\right) = \begin{cases} \cos\left(n \cos^{-1} \frac{\omega}{\omega_c}\right) & 0 \leq \frac{\omega}{\omega_c} \leq 1 \\ \cosh\left(n \cosh^{-1} \frac{\omega}{\omega_c}\right) & \frac{\omega}{\omega_c} > 1 \end{cases} \quad (2)$$

TABLE 1-2 Chebyshev polynomials

$$C_0\left(\frac{\omega}{\omega_c}\right) = 1$$

$$C_1\left(\frac{\omega}{\omega_c}\right) = \frac{\omega}{\omega_c}$$

$$C_2\left(\frac{\omega}{\omega_c}\right) = 2\left(\frac{\omega}{\omega_c}\right)^2 - 1$$

$$C_3\left(\frac{\omega}{\omega_c}\right) = 4\left(\frac{\omega}{\omega_c}\right)^3 - 3\left(\frac{\omega}{\omega_c}\right)$$

$$C_n\left(\frac{\omega}{\omega_c}\right) = 2\left(\frac{\omega}{\omega_c}\right) C_{n-1}\left(\frac{\omega}{\omega_c}\right) - C_{n-2}\left(\frac{\omega}{\omega_c}\right)$$

Pole의 位置를 찾아내기 為해 $S = j(\omega/\omega_c)$
(1)式은 다음과 같이 쓸 수 있다.

$$|H(s)|^2 = H(s)H^*(s) = \frac{H_0^2}{1 + \varepsilon^2 C_n^2(s/j)}$$

Chebyshev의 Pole의 位置는 항상 橋圓위에
存在함을 알 수 있고 All-pole 傳達函數의 分母
項 多項式은 (3)式으로 나타낸다.

$$H(s) = \frac{H_0}{s^n + a_{n-1}s^{n-1} + a_{n-2}s^{n-2} + \dots + a_1s + a_0} \quad (3)$$

Table 1 ~ 3 은 1/2dB, 1dB, 2dB의 通過帶域
Ripple 크기를 나타내고 n이 4차식 까지를 나타
낸다.

TABLE 1 ~ 3

<i>n</i>	Polynomial
	1/2-dB ripple ($\varepsilon = 0.3493$)
1	$s + 2.863$
2	$s^2 + 1.425 s + 1.516$
3	$s^3 + 1.253 s^2 + 1.535 s + 0.716 = (s + 0.626)(s^2 + 0.626 s + 1.142)$
4	$s^4 + 1.197 s^3 + 1.717 s^2 + 1.025 s + 0.379 = (s^2 + 0.351 s + 1.064)(s^2 + 0.845 s + 0.356)$
	1-dB ripple ($\varepsilon = 0.5088$)
1	$s + 1.965$
2	$s^2 + 1.098 s + 1.103$
3	$s^3 + 0.988 s^2 + 1.238 s + 0.491 = (s + 0.494)(s^2 + 0.490 s + 0.994)$
4	$s^4 + 0.953 s^3 + 1.454 s^2 + 0.743 s + 0.276 = (s^2 + 0.279 s + 0.987)(s^2 + 0.674 s + 0.279)$
	2-dB ripple ($\varepsilon = 0.7648$)
1	$s + 1.308$
2	$s^2 + 0.804 s + 0.637$
3	$s^3 + 0.738 s^2 + 1.022 s + 0.327 = (s + 0.402)(s^2 + 0.369 s + 0.886)$
4	$s^4 + 0.716 s^3 + 1.256 s^2 + 0.517 s + 0.206 = (s^2 + 0.210 s + 0.928)(s^2 + 0.506 s + 0.221)$

Chebyshev 濾波器의 크기 應答特性은 Fig 3

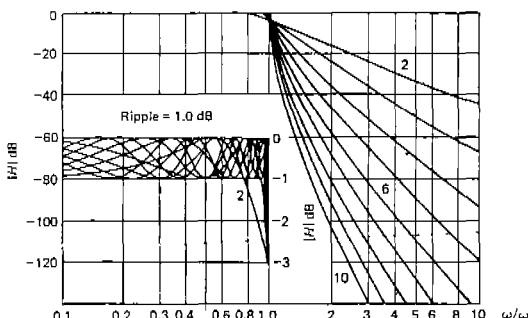


Fig 3. $n \leq 10$ 인 경遇 (境遇)의 Chebyshev 濾波器
의 利得應答 特性 Graph.

(C) Bessel 低周波 濾波回路의 接近方法 (Bessel (Thomson) Low-pass Filter)

Bessel의 低周波 濾波回路 函數는 指數函數
로 주어지고 이 濾波器의 特性은 Linear Phase

와 Flat Delay 를 갖게 되는 함수이다.

$$H(s) = K e^{-\sigma t} \quad (1)$$

n 次數의 $e^{-\sigma t}$ 에 대한 All-pole Approximation 函数는

$$H(s) = \frac{b_0}{s^n + b_{n-1}s^{n-1} + \dots + b_1s + b_0} \quad (2)$$

(2)식으로 表示된다.

이 Bessel 函数의 多項式은 Table 1 ~ 4
로 나타낼 수 있다. TABLE 1 ~ 4 Bessel
Polynomials

<i>n</i>	Polynomial
1	$s + 1$
2	$s^2 + 3s + 3$
3	$s^3 + 6s^2 + 15s + 15 = (s + 2.322)(s^2 + 3.678s + 6.460)$
4	$s^4 + 10s^3 + 45s^2 + 105s + 105 = (s^2 + 5.792s + 9.140)(s^2 + 4.208s + 11.488)$

이) 濾波器는 Bessel, Thomson 또는 Maximally Flat Delay (MFD) 濾波器라 稱한다.

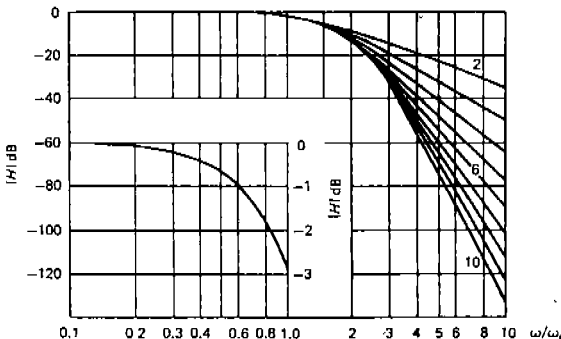


Fig 4. $n \geq 10$ 인 경우의 Bessel (Thomson)濾波器의 利得應答 特性

이) Bessel 濾波器는 利得選擇性에 있어서는 非效率的이나 時間지연 應答特性이 優秀하여 Video 와 Digital Transmission 濾波器들에 많이 이용된다.

Bessel 濾波器의 時間 遲延應答 特性曲線을 考察하면

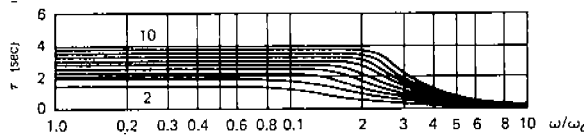


Fig 5. Bessel (Thomson)濾波器의 時間 遲延應答 特性 曲線

(D) Elliptic (Cauer)濾波器의 接近方法 (Elliptic Low-pass Filters)

이) 濾波器의 特性은 轉移領域이 아주 적고 靜止帶域 附近에서 날카로운 傾斜를 보여주고 있는 反面에 Butterworth나 Chebyshev 여파기 函数보다 複雜한 函数를 나타내고 있는 것이 이濾波器의 特性이다. 이 函数의 크기는

$$|H(j\omega)|^2 = \frac{1}{1 + \epsilon^2 R_n^2 \omega_s(\omega/\omega_p)^n} \quad (1)$$

로 表示되고 分母의 R_n , $\omega_s(\Omega)$, $\Omega = \omega/\omega_p$ 는 다음과 같다.

$$R_n \omega_s(\Omega) = \begin{cases} \left(\prod_{i=1}^{n/2} [\Omega^2 - (\omega_i/\omega_p)^2] \right)^{1/2} & \text{for } n \text{ even} \\ \Omega \left(\prod_{j=1}^{(n-1)/2} [\Omega^2 - (\omega_j/\omega_p)^2] \right)^{1/2} & \text{for } n \text{ odd} \end{cases}$$

Elliptic 濾波器의 利得 應答特性은 Fig 6로 나타내고 있으며 特徵은 靜止帶域과 通過帶域에 있어서若干의 Ripple 特性이 있는 點이다.

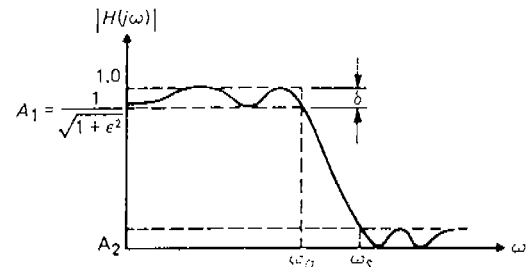


Fig 6. Elliptic (Cauer)濾波器의 標準利得 應答 特性 曲線

Elliptic 濾波器의 傳達函數는 다음과 같이 表示된다.

$$H(s)$$

$$= \frac{K \prod_{i=1}^n (s^2 + a_i)}{s^n + b_{n-1} s^{n-1} + b_{n-2} s^{n-2} + \dots + b_1 s + b_0} \quad (3)$$

K 는 尖銳 利得 常數로 나타내어 진다. 그리고 5次 Elliptic 傳達函數의 例를 들면 다음과 같다.

$$\begin{aligned} H(s) &= \frac{K(s^2 + \omega_1^2)(s^2 + \omega_2^2)}{(s + P_0)(s + P_1)(s + P_1^*)(s + P_2)(s + P_2^*)} \\ \omega_1 &= 2.92 \times 10^4 \text{ rad/sec} \\ \omega_2 &= 4.32 \times 10^4 \text{ "} \\ P_0 &= 1.68 \times 10^4 \text{ "} \\ P_1, P_1^* &= (-0.97 \pm j1.75) \times 10^4 \text{ rad/sec} \\ P_2, P_2^* &= (-0.236 \pm j2.24) \times 10^4 \text{ rad/sec} \end{aligned}$$

Elliptic 函数의 特徵은 2次函數로 構成이 되고 分子와 分母項에는 반드시 Pole과 Zero가 있으며 Low-pass Notch와 High-pass Notch가 존재한다는 點이 이 函数의 特徵이다.

5次 Elliptic 濾波器의 特性을 Graph로 그리면 Fig 7과 같다.

<24p에 계속>